

# 胰高血糖素样肽-1类似物活性检测的 CHO细胞模型构建

钱 凯<sup>1</sup> 蔡燕飞<sup>2</sup> 陈 蕴<sup>2</sup> 金 坚<sup>2\*</sup>

(<sup>1</sup>江南大学生物工程学院, 无锡 214122; <sup>2</sup>江南大学药学院, 无锡 214122)

**摘要** 该文构建了一种胰高血糖素样肽-1(glucagon-like peptide-1, GLP-1)类似物活性检测的细胞模型, 为GLP-1类似物的药物筛选提供了一种简单可靠的评价方法。真核表达质粒pcDNA3.1/hGLP-1R转染至中国仓鼠卵巢细胞(Chinese hamster ovary, CHO), 经单克隆筛选和遗传霉素(G418)压力筛选最终筛选出6株单克隆菌株。流式细胞仪检测GLP-1受体(glucagon-like peptide-1 receptor, GLP-1R)的表达量, 最终筛选获得1株高表达的细胞模型(CHO/pcDNA3.1/hGLP-1R)。RT-PCR结果显示, 该细胞模型转录hGLP-1R基因; 流式细胞仪检测结果和激光共聚焦结果显示, 细胞模型的膜表面有hGLP-1R蛋白的表达。连续传代10次, 细胞膜表面的hGLP-1R蛋白表达没有变化。构建的细胞模型活性检测结果显示, 该细胞模型可以很好地用于GLP-1类似物的活性检测。综上所述, 该细胞模型为GLP-1类似物的活性检测建立了一种方便可靠的体外活性检测方法。

**关键词** 胰高血糖素样肽-1受体; 中国仓鼠卵巢细胞; 活性测定; 细胞模型

## Constructed CHO Cell Model to Detect the Activity of Glucagon-like Peptide-1 Analogues

Qian Kai<sup>1</sup>, Cai Yanfei<sup>2</sup>, Chen Yun<sup>2</sup>, Jin Jian<sup>2\*</sup>

(<sup>1</sup>School of Biotechnology, Jiangnan University, Wuxi 214122, China, <sup>2</sup>School of Pharmaceutical Sciences, Jiangnan University, Wuxi 214122, China)

**Abstract** The *in vitro* activity of glucagon-like peptide-1 (GLP-1) analogue was detected in cell which stimulated the glucagon-like peptide-1 receptor (GLP-1R). We constructed the cell model in Chinese hamster ovary (CHO) cells which could express hGLP-1R. Plasmid of pcDNA3.1/hGLP-1R was constructed, and then was transformed into CHO by electricity. Recombination CHO cell was selected, and confirmed by RT-PCR and flow cytometry. Results suggested that the cell model could not only transcript the gene of GLP-1R but also express the GLP-1R protein in the cell membrane. The cell model could well detect the bioactivity of GLP-1 analogue *in vitro*. We constructed a recombination CHO cell which could well be used to detect the bioactivity of GLP-1 analogue *in vitro*.

**Keywords** glucagon-like peptide-1 receptor; Chinese hamster ovary; bioactivity determination; cell model

胰高血糖素样肽-1受体(glucagon-like peptide-1 receptor, GLP-1R)是G蛋白偶联受体的一种由七次跨膜结构组成的G蛋白, 主要分布于胰岛β细胞<sup>[1]</sup>。Tho-

rens于1992年首次从大鼠的胰腺细胞中克隆获得GLP-1R基因<sup>[2]</sup>。GLP-1类似物药物通过激活GLP-1R受体, 使得胞内的腺苷酸环化酶(adenylate cyclase,

收稿日期: 2015-04-20 接受日期: 2015-07-06

国家高技术研究发展计划(863计划)(批准号: 2014AA021003)和中国科学院战略性先导科技专项(批准号: XDA01040202)资助的课题

\*通讯作者。Tel: 0510-85918219, E-mail: jinjian31@126.com

Received: April 20, 2015 Accepted: July 6, 2015

This work was supported by the National High-tech R&D Program of China (863 Program) (Grant No.2014AA021003) and Strategic Priority Research Program from the Chinese Academy of Sciences (Grant No.XDA01040202)

\*Corresponding author. Tel: +86-510-85918219, E-mail: jinjian31@126.com

网络出版时间: 2015-08-07 15:10:48 URL: <http://www.cnki.net/kcms/detail/31.2035.Q.20150807.1510.001.html>

AC)活化而cAMP含量升高, 同时可以促进胞内Ca<sup>2+</sup>的上升, 从而提高胰岛素基因的转录、表达和分泌。通过调节cAMP还可以调节蛋白激酶A和蛋白激酶C途径, 促进β胰腺细胞的增殖和抗凋亡, 同时可以与葡萄糖共同作用促进胰岛素的释放<sup>[3]</sup>。

胰高血糖素样肽-1(glucagon-like peptide-1, GLP-1)是由小肠L细胞分泌的一种胰岛素调节激素, 可以控制胰岛素和胰高血糖素的分泌<sup>[4]</sup>。GLP-1刺激胰岛素的合成和分泌, 促进胰腺β细胞的增殖, 减少胃排空和降低人的食欲, 可以从多方面治疗2型糖尿病患者<sup>[5-6]</sup>。然而, 天然的GLP-1(7-37)在体内被二肽基肽酶-IV(dipeptidyl peptidase-IV, DPP-IV)水解成为GLP-1(9-37)而丧失活性<sup>[1]</sup>。因此, 设计GLP-1类似物来克服酶切位点的降解和提高单体的活性显得尤为重要。已有文献报道, 通过修饰酶切位点的氨基酸<sup>[7]</sup>或进行氨基酸突变来消除DPP-IV的水解从而提高单体活性<sup>[8]</sup>; 也可与其他蛋白进行融合来提高药物体内半衰期<sup>[9]</sup>。然而, 设计并合成大量GLP-1类似物, 需要高效的筛选模型来筛选。细胞模型具有针对性强、所需药物剂量低和操作简单方便等特点而得到广泛应用。大鼠胰岛素瘤细胞RINm5f作为天然的细胞模型可用于检测GLP-1类似物的活性<sup>[10]</sup>, 但RINm5f难以培养和生长缓慢, 使其应用受到限制。因此, 本文利用培养简单方便的中国仓鼠卵巢细胞(Chinese hamster ovary, CHO)作为受体细胞, 将人源GLP-1R基因导入。筛选获得稳定表达的CHO/hGLP-1R细胞模型, 为GLP-1类似物的活性检测提供可靠和简便的方法。

## 1 材料与方法

### 1.1 材料

1.1.1 质粒与菌株 中国仓鼠卵巢细胞(CHO)、大肠杆菌DH5α由本实验室保藏。真核细胞表达质粒pcDNA3.1购自Invitrogen公司。*hGLP-1R*基因pCMV6/hGLP-1R(RC211333)购自Origene公司。

1.1.2 试剂与药品 艾塞那肽注射液Exendin4(Baxter Pharmaceutical Solutions LLC, American)和人血清白蛋白(上海莱士血液制品股份有限公司)购自江南大学医务室。GLP-1类似物GGH融合蛋白由江南大学生物制药与分子药理实验室制备, 纯度大于95%。核酸内切酶*Hind* III和*EcoR* I、DNA marker、T4连接酶购自Thermo Scientific公司; DMEM/F12细胞培养

基(D/F12)、胎牛血清(FBS)、遗传霉素(geneticin, G418)及鲑鱼精购自Gibco公司; 质粒小量抽提试剂盒、DNA胶回收试剂盒、PCR产物纯化试剂盒购自上海生工生物工程有限公司; 质粒中量抽提试剂盒购自于天根生化科技有限公司; Human GLP-1R Alexa Fluor 488 MAb(FAB2814G)购自R&D公司; 引物由上海生工生物工程有限公司合成。其余化学试剂均为国产的分析纯试剂。

### 1.2 实验方法

1.2.1 表达质粒的构建 购自Origene公司的*hGLP-1R*基因质粒pCMV6/hGLP-1R(RC211333)经测序验证正确后作为PCR的模板, 以(5P: TTA GCC CAA GCT TAT GGC CGG CGC CCC CGG CCC GCT G; 3P: CCG GAA TTC TCA GCT GCA GGA GGC CTG GCA AGT GGC)为引物进行PCR, 获取*hGLP-1R*基因片段。质粒pcDNA3.1和PCR基因片段经*Hind* III和*EcoR* I双酶切后, 割胶回收目的片段, 再经T4连接酶12 °C连接16 h。连接好的重组质粒(pcDNA3.1/*hGLP-1R*)热击(42 °C, 90 s)转化到DH5α中, 涂布到LB固体培养基(50 μg/mL kanamycin), 37 °C培养16 h。LB固体培养基上挑选单菌落, 用质粒提取试剂盒(上海生工生物工程有限公司)提取质粒, 利用上述引物PCR验证。PCR验证正确的质粒送至上海生工测序, 进一步验证。

1.2.2 细胞模型的构建 应用试剂盒提取重组质粒。D/F12全培养基(含10% FBS)培养CHO细胞, 收集3×10<sup>6</sup>状态良好的细胞。PBS洗涤1次后, 离心并重悬于200 μL PBS中。在2 mm的电极杯中加入200 μL的细胞重悬液、20 μg重组质粒(pcDNA3.1/*hGLP-1R*)和10 μg鲑鱼精, 混匀后冰浴1 min。在电转仪中以160 V、15 ms电击2次。将转染后的细胞加到两个10 cm的培养皿中, 并加入10 mL的D/F12全培养基, 置细胞培养箱中培养(37 °C、5% CO<sub>2</sub>)。同时, 将空载质粒(pcDNA3.1)按照上述方法转染至CHO细胞中, 作为阴性对照。

1.2.3 模型组细胞的筛选 转染后细胞在D/F12全培养基培养2 d后, 加入G418抗生素使其终浓度为2 mg/mL, 继续培养7 d。在96孔板中先加入D/F12全培养基100 μL, 用10 μL移液枪挑选单克隆菌苔至96孔板, 培养1 d。再换成含G418的D/F12全培养基(G418 2.0 mg/mL), 于细胞培养箱中培养7 d。然后, 在24孔板中加入含G418的D/F12全培养基(G418

2.0 mg/mL) 0.3 mL, 将96孔板生长良好的细胞挑选至24孔板中, 继续扩大培养4 d。生长良好的细胞转移至6孔板中培养, 消化收集细胞并用荧光抗体(FAB2814G)孵育。流式细胞仪检测细胞hGLP-1R的表达量, 筛选获得高表达hGLP-1R的细胞模型株(CHO/pcDNA3.1/hGLP-1R)。同时, 在抗生素压力下筛选获得1株对照株(CHO/pcDNA3.1)。

**1.2.4 模型组细胞的流式细胞仪检测** 收集待检测的模型组细胞(CHO/pcDNA3.1/hGLP-1R)、对照组细胞(CHO/pcDNA3.1)和空细胞(CHO)各 $4 \times 10^6$ , PBS洗涤并离心(1 000 r/min, 5 min), 收集细胞。离心后加入1 mL(PBS+2% FBS), 孵育2 h。离心收集细胞, 加入40  $\mu$ L PBS和10  $\mu$ L抗体(anti-GLP-1R, FAB-2814G), 孵育1 h。PBS洗1次, 弃上清, 加300  $\mu$ L PBS, 制备获得检测样品。以空的CHO细胞株为对照组圈定阀门, 检测细胞的迁移率。检测的流式细胞仪为BD公司的LSR II, 检测结果用FlowJo 7.6.2软件进行数据分析。

**1.2.5 模型组细胞的激光共聚焦检测** 筛选获得的模型组细胞与CHO空载组细胞孵育于共聚焦小皿中。待细胞生长至40%左右, 加入4%(V/V)的多聚甲醛固定15 min。洗涤小皿后用5%BSA室温封闭2 h, 再次洗涤后再孵育荧光抗体(FAB2814G)室温封闭4 h。细胞核用4,6-二脒基-2-苯基吲哚(DAPI)室温染色15 min, 洗涤后用激光共聚焦显微镜(TCS SP8, Leica)检测。

**1.2.6 模型组细胞的RT-PCR** 收集模型细胞 $2 \times 10^6$ ,

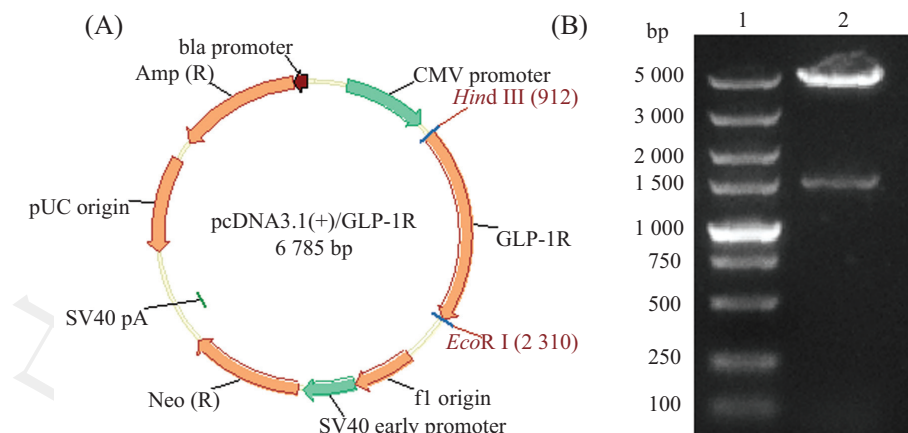
采用碧云天生物技术研究所的Trizol提取胞内的总RNA。利用Fermentas公司的Oligo dT(16 bp)和反转酶, 按照操作说明将胞内的RNA反转为cDNA。以cDNA为模板, 用TaKaRa的DNA聚合酶(PrimeSTAR, R050B)和上述引物进行PCR扩增。反应条件为: 95 °C预变性4 min; 然后, 92 °C变性15 s, 55 °C退火5 s, 72 °C扩增15 s, 31个循环; 最后, 72 °C扩增5 min。

**1.2.7 模型组细胞的活性检测** 筛选获得最优的细胞株, 用D/F12全培养基(含10% FBS)在T75培养瓶中培养。0.25%胰酶溶液消化细胞, 调节细胞密度为 $1 \times 10^5$ /mL。每孔加入300  $\mu$ L的细胞液到24孔板中。培养至85%左右的细胞汇合度时, 吸走培养基, PBS洗涤1次。GLP-1类似物药物Exendin-4和GGH融合蛋白用空的D/F12培养基稀释, 加入300  $\mu$ L梯度稀释的药物在培养箱(37 °C、5% CO<sub>2</sub>)中孵育25 min。孵育后弃药物, 加入含腺苷酸环化酶抑制剂IBMX的PBS溶液(IBMX终浓度100  $\mu$ mol/L)终止反应。并用R&D公司的cAMP检测试剂盒(KGE002B)检测细胞模型内的cAMP浓度。所有实验数据用SPSS 16.0统计软件进行统计学处理。

## 2 结果

### 2.1 表达质粒pcDNA3.1/hGLP-1R的构建

购于Origene公司的*hGLP-IR*基因经PCR扩增后, 经双酶切与pcDNA3.1连接, 即为构建好的重组质粒(图1A)。构建好的质粒经双酶切验证与理论值相符(图1B)。重组质粒送至上海生工生物工程有限公司



A: 构建的重组质粒pcDNA3.1/hGLP-1R示意图; B: 重组质粒的Hind III和EcoR I双酶切电泳图; 泳道1: DNA marker; 泳道2: 酶切产物电泳图。

A: schematic of plasmid pcDNA3.1/hGLP-1R; B: electrophoresis map of recombinant plasmid with Hind III and EcoR I digestion; Lane 1: DNA marker; Lane 2: sample of digestion product.

图1 重组质粒pcDNA3.1/hGLP-1R的构建

Fig.1 Construction of recombinant plasmid pcDNA3.1/hGLP-1R

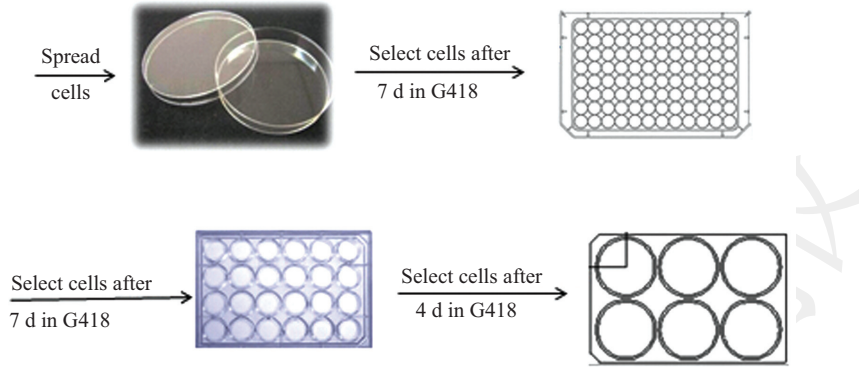
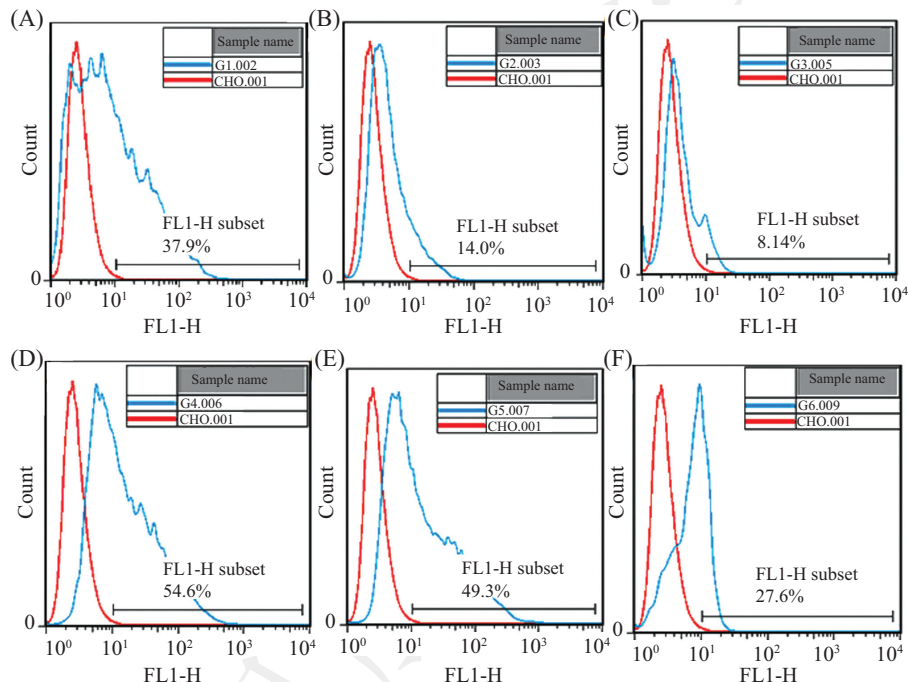


图2 重组模型细胞株的筛选流程  
Fig.2 The process of screening cell model



图A~F分别是最终筛选的六株单克隆细胞株与阴性细胞对照的迁移率。6株细胞株与GLP-1R(FAB2814G)抗体孵育后用流式细胞仪检测与阴性细胞对照的细胞迁移率。

A~F showed data of the six selected monoclonal cells. Six monoclonal cells were selected and incubated with anti-GLP-1R (FAB2814G). Migration rates were detected by flow cytometry.

图3 单克隆细胞的流式细胞仪筛选  
Fig.3 Monoclonal cells detected by flow cytometry

测序验证,结果与理论序列一致(结果未给出)。

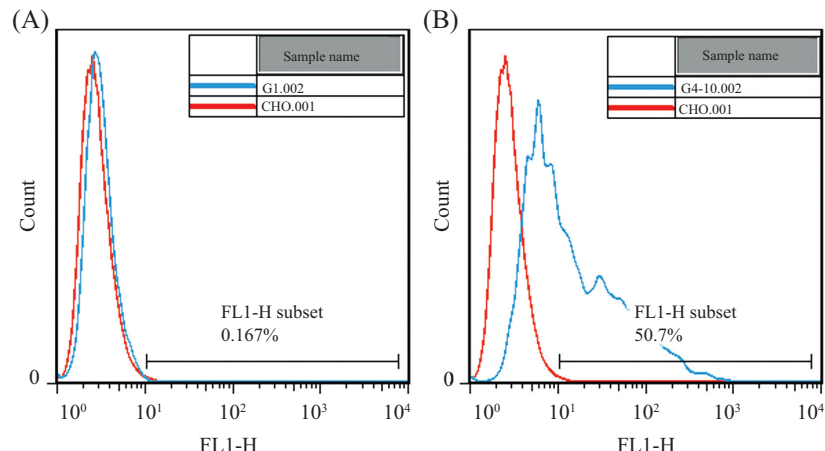
## 2.2 细胞模型的筛选

构建好的重组质粒电转入CHO细胞时,加入10 μg的鲑鱼精增加电转效率。按照图2的流程筛选细胞模型。电转的细胞铺入平皿中,形成单独的细胞。培养7 d后,单独的细胞生长成为单独的菌苔,挑选48株单克隆细胞至96孔板中。继续加压培养后挑选10株生长良好的细胞至24孔板中。在24孔板中有6株长势良好的细胞,消化并转移至6孔板中继续培养。用流式细胞仪检测重组细胞的迁移率,可以

反映细胞中受体的表达量高低。收集这6株细胞,流式细胞仪检测重组细胞膜表面的hGLP-1R蛋白表达(图3),有2株的迁移率低于15%,其余的4株迁移率均大于25%。最终将获得的迁移率为54.6%的1株细胞(图3D)用于后期研究。

## 2.3 细胞模型的验证

筛选的细胞模型在含G418的培养基中连续消化分瓶培养10次。以空的CHO细胞为对照细胞,转入空pCDNA3.1的细胞没有明显的迁移变化,而模型细胞则有明显的迁移变化(图4A)。细胞模型的流

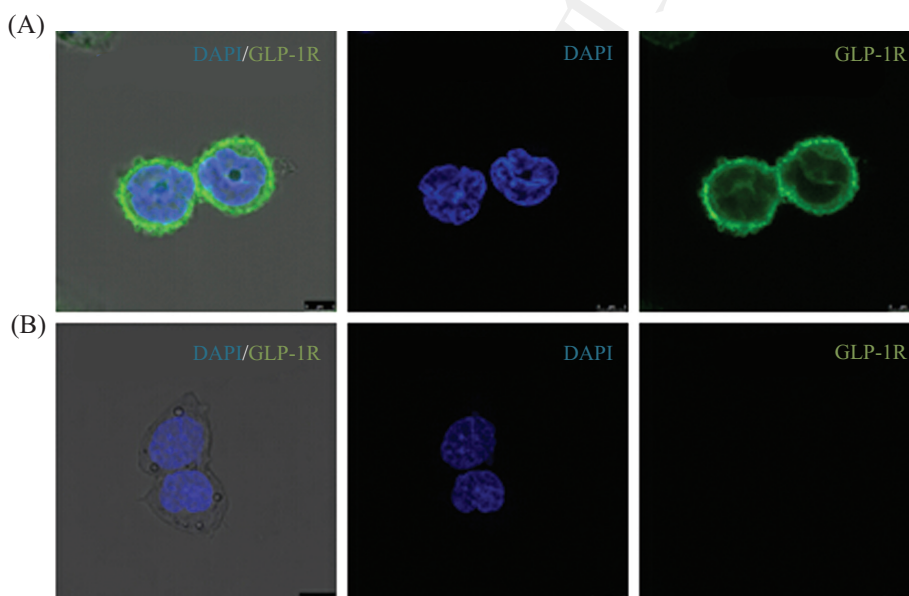


A: 阴性对照细胞(CHO/pcDNA3.1)的迁移率检测; B: 阳性细胞模型培养10代后的迁移率检测。

A: the migration rate of CHO/pcDNA3.1; B: the migration rate of selected cell model after cultivate ten generation.

图4 细胞模型的稳定性测定

Fig.4 The stability of cell model



A: CHO/pcDNA3.1/hGLP-1R细胞模型的激光共聚焦检测; B: CHO细胞的激光共聚焦检测。细胞与绿色荧光抗体(GLP-1R抗体, FAB2814G)孵育, 激光共聚焦下检测为绿色; 细胞与核染料DAPI孵育, 激光共聚焦下检测为蓝色。

A: laser confocal detection of CHO/pcDNA3.1/hGLP-1R cells; B: laser confocal detection of CHO cells. Cells incubated with green fluorescent antibody (GLP-1R antibody, FAB2814G), the colour was green under laser confocal. Cells incubated with DAPI, the colour was blue under laser confocal.

图5 两种细胞的激光共聚焦检测(1 000×)

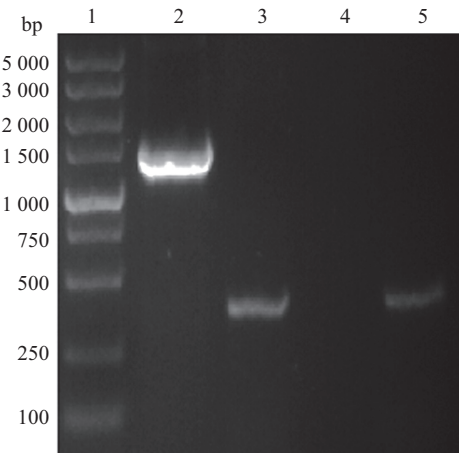
Fig.5 Laser confocal detection for two kinds of cells (1 000×)

式结果显示, CHO细胞中有hGLP-1R蛋白的表达; 且培养10代后, 流式细胞仪检测细胞表面的hGLP-1R蛋白, 细胞迁移率为50.7%, 与第一次筛选的结果(细胞迁移率为54.6%)没有明显差异(图4B)。筛选获得的细胞模型的激光共聚焦检测显示, 导入的基因*hGLP-1R*有表达且表达的蛋白质都定位于细胞膜上(图5A)。提取细胞模型的RNA, 反转录PCR结果显示, *hGLP-1R*基因在对照组细胞(CHO/pcDNA3.1)中没

有转录, 在实验细胞组(CHO/pcDNA3.1/hGLP-1R)中有转录(图6)。CHO细胞在RNA水平检测没有*GLP-1R*的转录(图6), 且激光共聚焦检测没有GLP-1R内源性蛋白的表达(图5B)。

#### 2.4 细胞模型的功能检测

本实验室制备的胰高血糖素样肽-1(GLP-1)类似物药物GGH, 是两个GLP-1(A2G)突变体与人血清白蛋白(HSA)的N-端连接的融合蛋白<sup>[11]</sup>。Exendin-4



泳道1: DNA marker; 泳道2和3: *hGLP-1R*基因和*Actin*基因在CHO/pcDNA3.1/hGLP-1R细胞中的RT-PCR检测结果; 泳道4和5: *hGLP-1R*基因和*Actin*基因在CHO/pcDNA3.1细胞中的RT-PCR检测结果。  
Lane 1: DNA marker; Lane 2 and 3: RT-PCR of CHO/pcDNA3.1/hGLP-1R cell to detect *hGLP-1R* gene and *Actin* gene; Lane 4 and 5: RT-PCR of CHO/pcDNA3.1 cell to detect *hGLP-1R* gene and *Actin* gene.

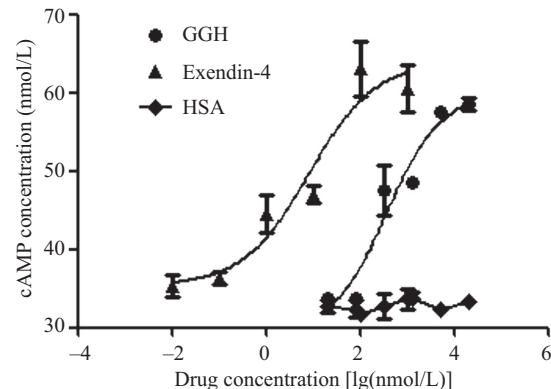
图6 反转录PCR验证图

Fig.6 Electrophoresis map of RT-PCR

为GLP-1类似物, 现为治疗2型糖尿病的药物。GGH和Exendin-4都可以与GLP-1R结合, 刺激细胞产生cAMP, 并且有明显的剂量依赖关系。在此模型检测下, 利用Prism 5软件计算GLP-1类似物的EC<sub>50</sub>。结果显示, GGH的EC<sub>50</sub>为456.7 nmol/L, 而Exendin-4的EC<sub>50</sub>为7.8 nmol/L(图7)。

### 3 讨论

将电转的细胞铺在10 cm的平皿中培养, 加入G418抗性压力。培养2 d后有大量细胞死亡, 更换含G418的培养基。此时, 在平皿中的细胞均为单个的贴壁细胞, 继续培养5 d后, 单个的细胞生长成为肉眼可见的菌苔(在亮的灯光斜照下)。利用10 μL的移液枪将菌苔分别挑至96孔板中。筛选获得的稳定细胞株(CHO/pcDNA3.1/hGLP-1R)可以转录*hGLP-1R*基因(图4), 也顺利地在CHO的细胞膜表面表达*hGLP-1R*蛋白(图5)。同时, 可以很好地用于检测GLP-1类似物的活性(图6)。筛选重组细胞克隆的另一种常用方法是梯度稀释法, 主要是在抗性培养基的培养下, 选择生长条件较好的菌株。我们筛选的6株重组细胞中, 有2株的迁移率低于15%, 其余的4株迁移率均大于25%。因此, 单纯的从抗性培养基的长势较好中选择, 不能完全排除抗性基因高表达而目标基因表达不佳的情况。我们筛选菌株的策略较



梯度稀释的GLP-1类似物刺激筛选的细胞模型产生cAMP, cAMP浓度的检测用R&D的试剂盒(KGE002B)。

Gradient dilution of GLP-1 analogues stimulated intracellular cAMP in cell model, and cAMP was detected by kit (R&D, KGE002B).

图7 GLP-1类似物在细胞模型的活性检测

Fig.7 The activity of GLP-1 analogues in cell model

梯度稀释法筛选单克隆更加精确和快速<sup>[12]</sup>。筛选获得的单克隆传代10次后, 流式细胞检测*hGLP-1R*的表达情况(图4B), 与第1代细胞的*hGLP-1R*含量相比没有明显差异, 且CHO没有内源性GLP-1受体(GLP-1R)表达(图5A), 不会对构建的模型有干扰。

GLP-1类似物的体外检测方法主要是细胞活性的检测。天然的细胞模型如小鼠胰腺瘤细胞(MIN6)和大鼠胰腺瘤细胞(RINm5f)在其细胞表面有鼠源的GLP-1R, GLP-1类似物可以和GLP-1R结合, 刺激胞内的第二信使(cAMP)上升或刺激胰岛素分泌, 通过检测cAMP或胰岛素的含量来评价GLP-1类似物的体外活性<sup>[13]</sup>。但是, MIN6和RINm5f细胞容易凋亡, 培养难, 且50%的细胞密度传代生长到80%的汇合度至少需要4 d, 生长速度缓慢。MIN6和RINm5f作为检测模型是一种不稳定和不方便的检测方法<sup>[13]</sup>。而人工构建的细胞模型可以导入人源的GLP-1R, 可以更加精确地反映受体与激动剂之间的相互作用<sup>[14]</sup>。CHO细胞本身没有GLP-1R受体表达(图5B), 本文将人源的GLP-1R转入到CHO细胞中, 经稳定克隆株的筛选获得稳定的克隆株, 构建好的细胞模型检测阳性对照物(Exendin-4)的EC<sub>50</sub>为7.8 nmol/L, 与天然细胞检测的活性类似<sup>[10]</sup>。构建好的细胞模型(CHO/pcDNA3.1/hGLP-1R)细胞易于培养和操作, 可有效地应用于GLP-1类似物的检测和筛选。

### 参考文献 (References)

- 1 Donnelly D. The structure and function of the glucagon-like pep-

- 2 tide-1 receptor and its ligands. Br J Pharmacol 2012; 166(1): 27-41.
- 3 Thorens B. Expression cloning of the pancreatic beta cell receptor for the gluco-incretin hormone glucagon-like peptide 1. Proc Natl Acad Sci USA 1992; 89(18): 8641-5.
- 4 Doyle ME, Egan JM. Mechanisms of action of glucagon-like peptide 1 in the pancreas. Pharmacol Ther 2007; 113(3): 546-93.
- 5 Baggio LL, Drucker DJ. Biology of incretins: GLP-1 and GIP. Gastroenterology 2007; 132(6): 2131-57.
- 6 Holst JJ. The physiology of glucagon-like peptide 1. Physiol Rev 2007; 87(4): 1409-39.
- 7 Quoyer J, Longuet C, Broca C, Linck N, Costes S, Varin E, et al. GLP-1 mediates antiapoptotic effect by phosphorylating bad through a beta-arrestin 1-mediated ERK1/2 activation in pancreatic beta-cells. J Biol Chem 2010; 285(3): 1989-2002.
- 8 Oh JY, Lee C, Jang SH, Yoo SB, Chung HS. Novel DPP-IV-resistant analogs of GLP-1: the N-terminal extension of GLP-1 by a single amino acid. B Kor Chem Soc 2009; 30(10): 2471-4.
- 9 Xiao Q, Giguere J, Parisien M, Jeng W. Biological activities of glucagon-like peptide-1 analogues *in vitro* and *in vivo*. Biochemistry 2001; 40(9): 2860-9.
- 10 Kim JG, Baggio LL, Bridon DP, Castaigne JP, Robitaille MF, Jette L, et al. Development and characterization of a glucagon-like peptide 1-albumin conjugate—the ability to activate the glucagon-like peptide 1 receptor *in vivo*. Diabetes 2003; 52(3): 751-9.
- 11耿 燕, 任怡琳, 许正宏, 窦文芳. 基于胞内cAMP浓度测定融合蛋白GGH活性的改良方法. 中国生物工程杂志(Geng Yan, Ren Yilin, Xu Zhenghong, Dou Wenfang. An improved method to measure bioactivity of the fusion protein GGH based on the intracellular cAMP level. China Biotechnology) 2013; 33(11): 63-7.
- 12 Dou WF, Lei JY, Zhang LF, Xu ZH, Chen Y, Jin J. Expression, purification, and characterization of recombinant human serum albumin fusion protein with two human glucagon-like peptide-1 mutants in Pichia pastoris. Protein Express Purif 2008; 61(1): 45-9.
- 13 朱振洪, 王同映, 黄岩山. 人GLP-1R基因转染BHK细胞及重组细胞的应用. 生物技术通报(Zhu Zhenhong, Wang Tongying, Huang Yanshan. Construction of recombinant BHK/GLP-1R cells and its application. Biotech B China) 2007; 3: 118-21.
- 14 Tsuboi T, Xavier GD, Holz GG, Jouaville LS, Thomas AP, Rutter GA. Glucagon-like peptide-1 mobilizes intracellular  $\text{Ca}^{2+}$  and stimulates mitochondrial ATP synthesis in pancreatic MIN6 beta-cells. Biochem J 2003; 369: 287-99.
- 15 刘 珊, 谢 波, 郝素娟, 惠允宙. 胰高血糖素样肽-1及其类似物的生物学活性测定方法. 中国生化药物杂志(Liu Shan, Xie Bo, Hao Sujuan, Hui Xunyu. The determination method for biological activities of glucagon like peptide-1 and its derivatives. Chin J Biological Pharms) 2012, 33(5): 675-8.